

Silizium-NPN-Leistungstransistoren Silicon NPN Power Transistors

Anwendungen: Spannungsregler, Inverter, getaktete Netzgeräte

Applications: Voltage regulator, inverter, switching mode power supply

Besondere Merkmale:

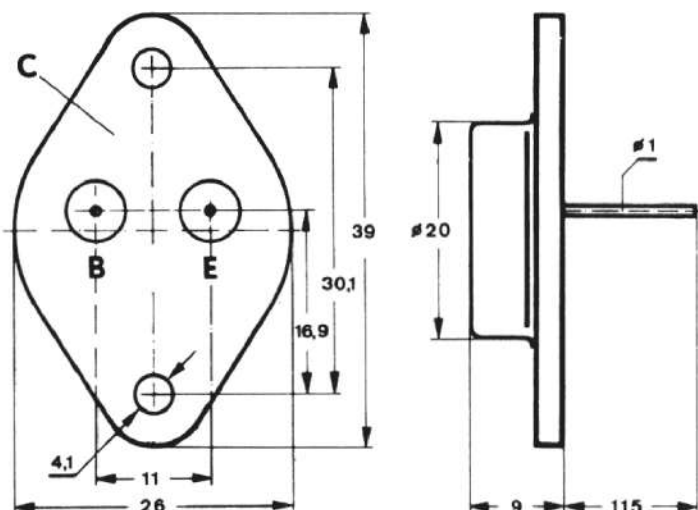
- In Dreifachdiffusions-Mesa-Technik
- Hohe Sperrspannung
- Kurze Schaltzeit

Features:

- In Tripple Diffusion Mesa Technique
- High reverse voltage
- Short switching time

Abmessungen in mm

Dimension in mm



Kollektor mit
Gehäuse verbunden
Collector connected
with case

Normgehäuse
Case
3 B 2 DIN 41872
JEDEC TO 3
Gewicht · Weight
20 g

Zubehör Accessories

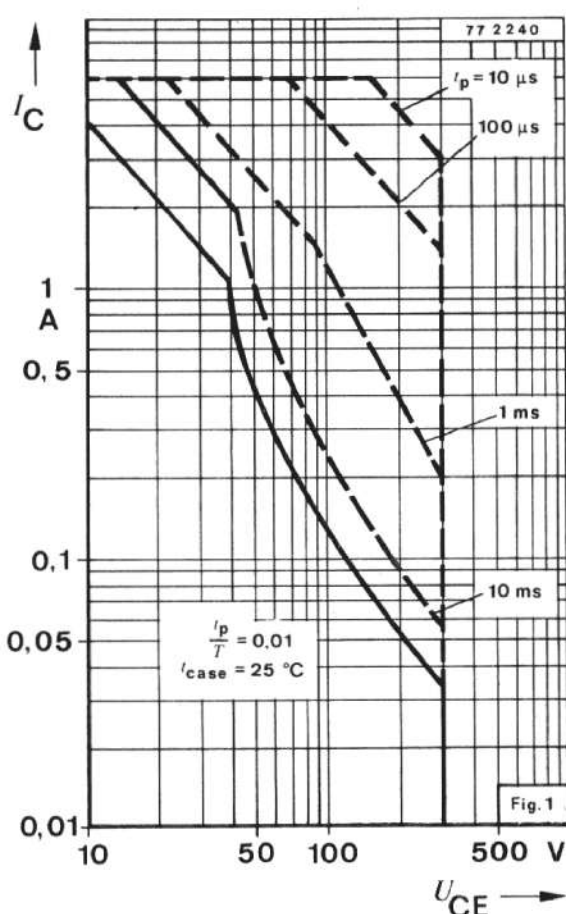
Isolierscheiben	Best. Nr. 515 390
Isolating washers	Best. Nr. 562 897

BU 126

Absolute Grenzdaten

Absolute maximum ratings

Kollektor-Emitter-Sperrspannung <i>Collector-emitter voltage</i>	U_{CEO}	300	V
$I_B = 0$	U_{CES}	750	V
Kollektorstrom <i>Collector current</i>	I_C	3	A
Kollektorspitzenstrom <i>Collector peak current</i>	I_{CM}	6	A
$t_p \leq 10 \text{ ms}$			
Basisstrom <i>Base current</i>	I_B	2	A
Negativer Basisspitzenstrom <i>Negative base peak current</i>	$-I_{BM}$	1,5	A
Gesamtverlustleistung <i>Total power dissipation</i>	P_{tot}	40	W
$t_{case} = 25^\circ\text{C}$			
Sperrsichttemperatur <i>Junction temperature</i>	t_j	125	$^\circ\text{C}$
Lagerungstemperaturbereich <i>Storage temperature range</i>	t_{stg}	-65 ... +125	$^\circ\text{C}$

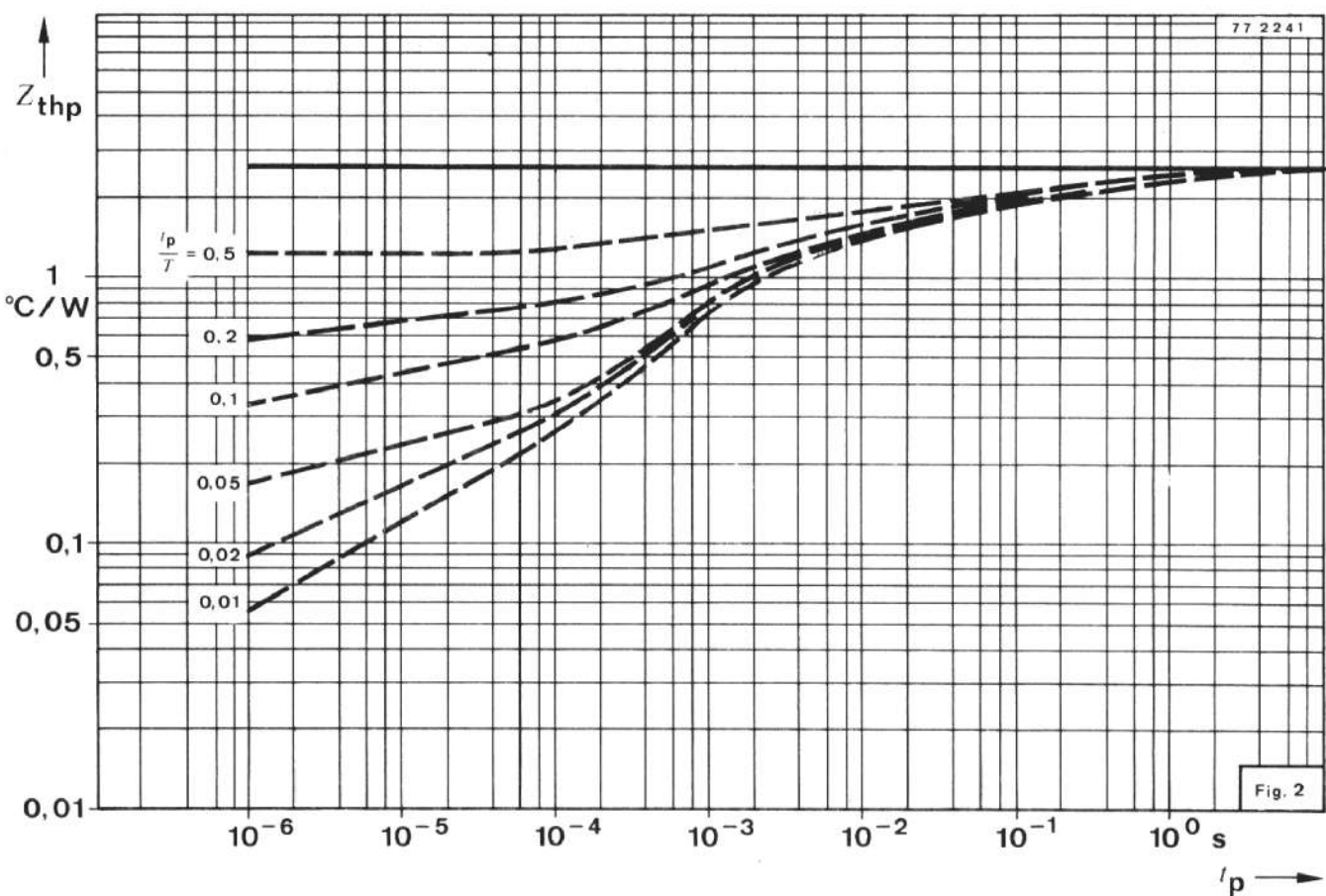


Getakteter Netzteilbetrieb während des Einschaltens
Switched-mode operation during turn-on

$t_p \leq 0,06 \mu\text{s}$, $R_{BE} \leq 100 \Omega$

Periodischer Impulsbetrieb während des Abschaltens
Repetitive pulse operation during turn-off

$U_{BE} \leq 0$, $t_p \leq 2 \text{ ms}$


**Wärmewiderstand
Thermal resistance**

Min. Typ. Max.

 Sperrsicht-Gehäuse
Junction case

 R_{thJC}

2,5 °C/W

**Statische Kenngrößen
DC characteristics**
 $t_{case} = 25^\circ\text{C}$, falls nicht anders angegeben
unless otherwise specified

Kollektorreststrom

Collector cut-off current

 $U_{CE} = 750 \text{ V}$
 $U_{CE} = 750 \text{ V}, t_{amb} = 125^\circ\text{C}$
 I_{CES}

500

μA

2

mA

Kollektor-Emitter-Durchbruchspannung

Collector-emitter breakdown voltage

 $I_C = 100 \text{ mA}$
 $U_{(BR)CEO}$

300

V

Emitter-Basis-Durchbruchspannung

Emitter-base breakdown voltage

 $I_E = 1 \text{ mA}$
 $U_{(BR)EBO}$

6

V

Kollektor-Sättigungsspannung

Collector saturation voltage

 $I_C = 2,5 \text{ A}, I_B = 250 \text{ mA}$
 $I_C = 4,0 \text{ A}, I_B = 1 \text{ A}$
 U_{CEsat}

10

V

 U_{CEsat}

5

V

		Min.	Typ.	Max.
Basis-Sättigungsspannung <i>Base saturation voltage</i>				
$I_C = 4 \text{ A}, I_B = 1 \text{ A}$	U_{BEsat}			1,5 V
Kollektor-Basis-Gleichstromverhältnis <i>DC forward current transfer ratio</i>				
$U_{CE} = 5 \text{ V}, I_C = 1 \text{ A}$	h_{FE}		15	
Dynamische Kenngrößen AC characteristics				
$t_{case} = 25^\circ\text{C}$				
Transitfrequenz <i>Gain bandwidth product</i>				
$U_{CE} = 10 \text{ V}, I_C = 200 \text{ mA}, f = 1 \text{ MHz}$	f_T	10		MHz
Kollektor-Basis-Kapazität <i>Collector base capacitance</i>				
$U_{CB} = 10 \text{ V}, f = 0,5 \text{ MHz}$	C_{CBO}	75		pF
Emitter-Basis-Kapazität <i>Emitter-base capacitance</i>				
$U_{EB} = 2 \text{ V}, f = 0,5 \text{ MHz}$	C_{EBO}	1		nF
Abfallzeit <i>Fall time</i>				
$I_C = 2,5 \text{ A}, I_B = 0,25 \text{ A}$	t_f	0,2		μs

